

تأثیر غلظت اتیلن دی کلراید بر روی متان سازی بیومس بی هوازی

معصومه گلشن^۱، مریم ترابی فر^۲، منیژه صباحیان بیدگلی^۳، محمد مهدی امین^۴، محمد قاسمیان^۵، لیلا کریمی تکانلو^{*}

مقاله پژوهشی

چکیده

مقدمه: مطالعه حاضر با هدف بررسی تأثیر بازدارندگی اتیلن دی کلراید (EDC) بر روی تجزیه زیستی از طریق آزمون فعالیت متان سازی ویژه (SMA) یا بیومس بی هوازی انجام شد.

روش ها: تعداد ۴۰ آزمون SMA بیومس بی هوازی به روش ناپوسته و در ویال های شیشه ای ۱۲۰ میلی لیتری صورت گرفت. ۱۷ درصد از حجم هر ویال به بیومس pH 35 ± 2 در محدوده ۷ حفظ شد. COD ورودی نیز برای هر ویال در ابتدا و انتها سنجیده می شد. اتیلن دی کلراید با استفاده از دستگاه کروماتو گرافی گازی مجهز به آشکارساز اسپکترومتری جرمی (GC-MS) در ابتدا و انتهای دوره آزمایش آنالیز گردید.

یافته ها: در غلظت های ۵۰۰، ۱۰۰۰، ۲۰۰۰۰ میلی گرم در لیتر اتیلن دی کلراید، کاهش تولید متان به ترتیب به میزان ۱۲/۶، ۹/۹، ۰/۸۶ میلی لیتر متان به ازای هر گرم VSS در روز به دست آمد. کاهش راندمان حذف COD برای غلظت های فوق نیز مشاهده شد؛ به طوری که راندمان حذف COD در غلظت های فوق به ترتیب ۶۸/۹، ۵۴/۴، ۳۳/۸ و ۷۰/۵ درصد به دست آمد. اثرات بازدارندگی اتیلن دی کلراید بر میزان متان سازی بیومس بی هوازی از غلظت های بالاتر از ۷۵۰ میلی گرم بر لیتر آغاز گردید. میزان متان تجمعی در غلظت های ۷۵۰، ۵۰۰، ۲۰۰۰ و ۳۰۰۰ میلی گرم بر لیتر اتیلن دی کلراید به ترتیب ۰/۷، ۰/۸۶، ۰/۹ و ۰/۹۳ درصد به دست آمد.

نتیجه گیری: افزایش غلظت اتیلن دی کلراید از حدی به بالا باعث کاهش درصد تولید متان و بازدارندگی بر فعالیت باکتری ها می شود؛ به طوری که غلظت های بالاتر از ۷۵۰ میلی گرم بر لیتر اثر بازدارندگی بر فعالیت متان سازی داشت.

واژه های کلیدی: فعالیت متان سازی ویژه، اتیلن دی کلراید، بیومس بی هوازی، پساب صنایع بترو شیمی

ارجاع: گلشن معصومه، ترابی فر مریم، صباحیان بیدگلی منیژه، مهدی امین محمد، قاسمیان محمد، کریمی تکانلو لیلا. تأثیر غلظت اتیلن دی کلراید بر روی متان سازی بیومس بی هوازی. مجله تحقیقات نظام سلامت ۱۱: ۷۱۲-۷۰۵ (۴): ۱۳۹۴

پذیرش مقاله: ۱۳۹۴/۷/۲۶

دریافت مقاله: ۱۳۹۴/۴/۶

حالیت EDC در آب 1°C ضریب جذب آن $1/28 = K_{\text{oc}}$ و با ثابت Henry پایین $1/1 \times 10^{-3} \text{ atm m}^3 \text{ mol}^{-1}$ می باشد (۲)؛ در حالی که اصلاح فیزیکی شامل استخراج از خاک و آب های زیززمینی ناکارامد، هزینه بر، کند و مخل محيط زیست بوده، قابلیت تجزیه زیستی EDC در شرایط هوایی (۳، ۴) و بی هوازی (۵) نشان داده است. تجزیه بی هوازی EDC بر اساس کلزدایی احیایی صورت می گیرد که در آن این ترکیب نقش پذیرنده الکترون را بازی می کند. باکتری هایی که این قابلیت را دارند، باکتری هایی دی هالو کوئید انتوژن و بعضی از متابون ها مثل متانوباکتریوم ترموتوروفیسیوم، متانوسارسینا بارکری و متیلوسینوس

مقدمه

دی کلرواتان (۱,۲-DCA)، یا اتیلن دی کلراید (EDC) (۱)، یکی از فراوان ترین محصولات صنایع کلرینه می باشد. این ترکیب همچنین، در بعضی از پروسه های صنایعی همانند سنتز فلوروکربن و تری کلرواتان به عنوان یک واسطه استفاده می شود. عملیات ضعیف دفن بهداشتی، نفوذ از لنديل ها و نشت های تصادفی منجر به آلدوجی آب های زیززمینی به این آلابنده شده است. از طرفی، به دلیل حلالیت بالا در آب و ظرفیت جذب پایین، وضع برای این آلابنده خیمتر شده است (۱).

- کمیته تحقیقات دانشجویی، دانشکده بهداشت، دانشگاه علوم پزشکی جندی شاپور اهواز، اهواز، ایران
- کارشناس ارشد، گروه مهندسی بهداشت محیط، شهرداری لالی، خوزستان، ایران
- گروه مهندسی بهداشت محیط، دانشکده بهداشت، دانشگاه علوم پزشکی اصفهان، اصفهان، ایران
- مرکز تحقیقات محیط زیست، دانشکده بهداشت، دانشگاه علوم پزشکی اصفهان، اصفهان، ایران
- مرکز تحقیقات محیط زیست، دانشکده بهداشت، دانشگاه علوم پزشکی فاضلاب تهران، تهران، ایران
- کارشناس ارشد، گروه مهندسی بهداشت محیط، دانشکده بهداشت، دانشگاه علوم پزشکی ایران، تهران، ایران

نویسنده مسؤول: محمد مهدی امین

Email: amin@hlth.mui.ac.ir

هدف از انجام این مطالعه، بررسی تأثیر غلظت اتیلن دی کلراید بر SMA بود که بر راندمان تصفیه بیولوژیکی میکروگانیسم‌های بی‌هوایی در تصفیه‌خانه‌های فاضلاب پتروشیمی تأثیر می‌گذارد.

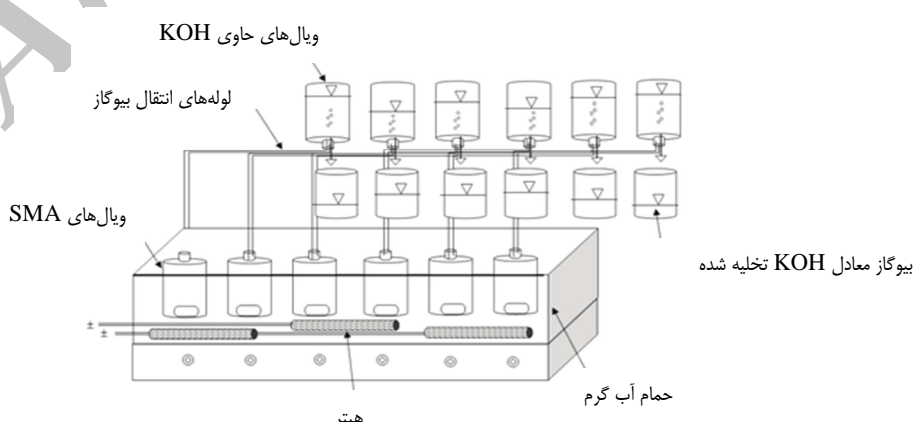
روش‌ها

این مطالعه از نوع تجربی مداخله‌ای بود و تعداد ۴۰ آزمون SMA به روش ناپوسته و در ویال‌های شیشه‌ای ۱۲۰ میلی‌لیتری انجام شد. هر آزمون در محدوده ۱۰ روز به طول انجامید. شکل ۱ شماتیک پایلوت مورد استفاده در این مطالعه را نشان می‌دهد. ۲۰ میلی‌لیتر از حجم هر ویال ۱۲۰ میلی‌لیتری توسط بیومس بی‌هوایی، ۸۰ میلی‌لیتر سویستر بر گردید و ۲۰ میلی‌لیتر باقی مانده به تجمع بیوگاز اخلاص یافت. درب ویال‌ها با واشرهای لاستیکی و سپس پوشش‌های آلومینیومی آببند گردید. اختلاط محتويات ویال‌ها با استفاده از دستگاه همزن مغناطیسی عاخنه (ساخت شرکت پارس آرما، ایران) در محدوده ۲۰–۳۰ دور در دقیقه در حمام آب گرم با حفظ دمای 35 ± 2 درجه سانتی گراد انجام گردید (۱۵). متان تولیدی از طریق جایگزینی مایع توسط محلول ۲ نرمال KOH به عنوان جاذب CO_2 و برم تیمول بلو به عنوان اندیکاتور اندازه‌گیری شد (۱۷، ۱۵). جهت کنترل آزمایشات از نمونه شاهد بدون افزونه EDC استفاده گردید.

ویال‌ها با استفاده از لجن هاضم‌های بی‌هوایی تصفیه‌خانه جنوب شهر اصفهان به ترتیب با مقادیر (MLSS) Mixed liquor suspended solids و (MLVSS) Mixed liquor volatile suspended solids معادل $32/1$ و $17/2$ گرم در لیتر بذرده شد.

جهت فعالیت بهتر بیومس بی‌هوایی و عملکرد بهتر متابوژن‌ها، سوبسترهایی با مخلوط مکرونوتربینتها، میکرونوتربینتها به داخل راکتور اضافه شد (جدول ۱). برای سنجش راندمان حذف EDC در سه غلظت 500 ، 2000 و 3000 mg/L از دستگاه GC (Tekmar dohrmann 3800) (Thermo TR-VI $30 \text{ m} \times 0/32 \text{ mm} \times 1/8 \text{ mm}$) استفاده شد. گاز نیتروژن به عنوان حامل (20 mL/min) با دتکتور گیرنده الکترون (ECD) به کار رفت. دمای انزیکور و دمای دتکتور 250°C و 280°C بود. برنامه دمایی ستون در ابتدا، 70°C در $10^\circ\text{C}/\text{min}$ تا 150°C افزایش یافت و به مدت ۱ دقیقه حفظ شد و در نهایت، در $25^\circ\text{C}/\text{min}$ تا 280°C تنظیم شد.

تریکسپریوم که می‌تواند EDC را به اتان، کلرزدایی کند (۶). تکنیک‌هایی که برای پایش جمیت فعال متابوژن‌تزر در شروع کار و شروع مجدد کار یک بیوراکتور برای رسیدن به درصد حذف مناسب اکسیژن مورد نیاز شیمیایی (COD) به کار می‌رود شامل شمارش میکروسکوپی، شمارش محتمل ترین (MPN) Most probable number، آدنوزین فسفات (ATP)، فعالیت Adenosine triphosphate (ATP) یا دهیدروژنیک، کوآنزیم F₄₂₀ و فعالیت متان‌سازی ویژه (SMA) Specific methanogenic activity) می‌باشد. از میان این تکنیک‌ها، SMA به طور وسیعی برای پایش فعالیت متابوژن‌ها با وجود زمان بودن، استفاده می‌شود (۲). این روش میزان تولید مтан را بر واحد بیومس میکروبی در واحد زمان بر حسب $\text{mLCH}_4 \text{ gVS}^{-1} \text{ d}^{-1}$ یا بر حسب اکسیژن مورد نیاز شیمیایی معادل مтан ($\text{mgCOD gVS}^{-1} \text{ d}^{-1}$) نشان می‌دهد (۹، ۸). پایش فعالیت متابوژن‌ها، علاوه بر نشان دادن قابلیت لجن برای تبدیل سویسترهایی به مタン توسط تست SMA در ارزیابی رفارن لجن تحت تأثیر پتانسیل بازدارندگی یا ترکیبات سمی و تعیین میزان آستانه آن‌ها مهم است (۱۰). با توجه به این که اکثر پروسه‌های هالوژن‌زدایی اجایی تحت شرایط متابوژنیک رخ می‌دهند و سمیت، یکی از ریسک فاکتورهای مهم تصوفیه فاضلاب بی‌هوایی است، بررسی اثرات غلظت بازدارندگی هیدروکربن‌های آلیاتیک کلرینه (CAH) یا Chlorinated aliphatic hydrocarbon، مورد نیاز است (۱۱). پایش و کنترل بیوراکتورهای بی‌هوایی به وسیله تعادل مواد مثل pH، راندمان حذف COD و مقدار مtan بیوگاز صورت می‌گیرد (۱۲). در واقع پایش، یک استراتژی برای رسیدن به پایداری بهتر فرایند و افزایش راندمان در هاضم‌های بی‌هوایی است و به این منظور، تولید گاز معمول ترین شاخص جهت کنترل می‌باشد (۱۳). بازدارندگی بر روی تجزیه زیستی هیدروکربن‌ها و فعالیت متابوژنیک در تحقیقات قلی گزارش شده است. Sanz و همکاران به بررسی بازدارندگی آلیاتیک‌ها روی استوکلاسیک‌ها پرداختند (۱۱). Sponza در راکتور Upflow anaerobic sludge blanket (UASB) با فاضلاب سنتتیک برای حذف TCE (Trichloroethylene)، اثر بازدارندگی در غلظت‌های بالا بر روی فعالیت متابوژنیک را نشان داده است (۱۴). حیدری و همکاران گزارش کردند که افزایش غلظت آنتی‌بیوتیک‌ها در فعالیت متابوژنیک بی‌هوایی، باعث کاهش تولید مtan می‌شود (۱۳).



شکل ۱. شماتیک پایلوت مورد استفاده جهت آزمایش فعالیت متابوژنیک بیومس بی‌هوایی (SMA یا Specific methanogenic activity) ویژه

جدول ۱. مشخصات نوترینت‌ها و عناصر جزئی

نوترینت‌ها	غلافت (گرم بر لیتر)	عناصر جزئی	غلافت (گرم بر لیتر)	غلافت (کرم بر لیتر)
KH_2PO_4	۲۴/۳۰۰	CoCl_2	۰/۱۴	
CaCl_2	۲/۲۰۰	$\text{FeCl}_3.6\text{H}_2\text{O}$	۰/۶۸	
$\text{MgSO}_4.7\text{H}_2\text{O}$	۷/۲۲۰	$\text{FeSO}_4.7\text{H}_2\text{O}$	۰/۴۰	
$\text{Na}_2\text{HPO}_4.7\text{H}_2\text{O}$	۰/۰۶۴			
NaHCO_3	۷/۱۰۰			

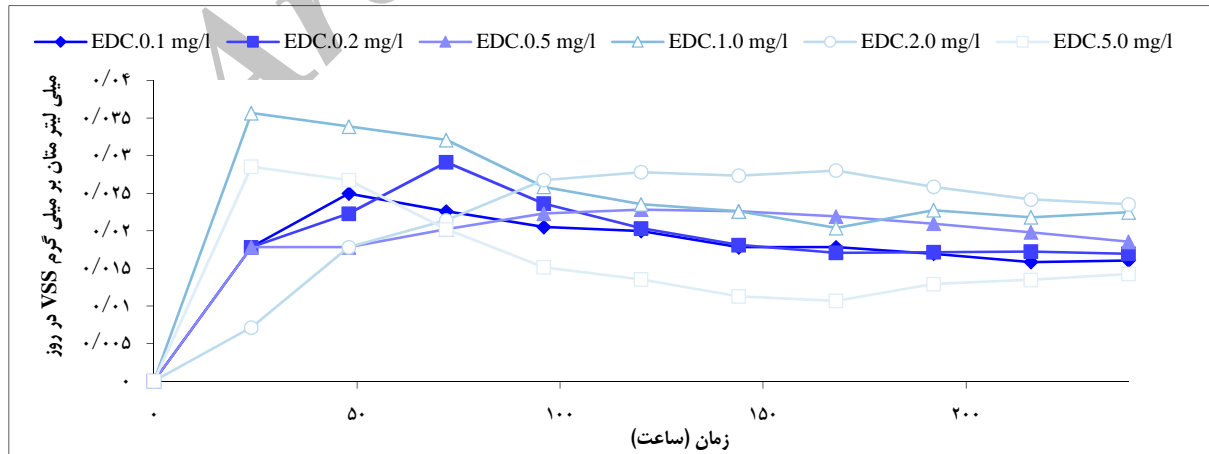
حاصل شد (شکل ۵-الف). بیشترین میزان SMA در غلافت ۷۵۰ میلی‌گرم بر لیتر برابر با ۱۳/۹۵ میلی‌لیتر متان بر گرم VSS در روز بود. در غلافت EDC بالاتر، میزان SMA کاهش یافت؛ به طوری که کمترین میزان SMA در غلافت ۲۰ گرم بر لیتر برابر با ۰/۰۶۴ میلی‌لیتر متان بر گرم VSS در روز مشاهده شد (شکل ۴).

شکل ۵-ب راندمان حذف COD در غلافت‌های مختلف EDC را نشان می‌دهد. مطابق با این شکل، راندمان حذف بالاتر با تولید متان بیشتری همراه بود؛ به طوری که بیشترین راندمان (۹۳/۸ درصد) در غلافت ۷۵۰ میلی‌گرم EDC بر لیتر به دست آمد. با افزایش غلافت EDC که معادل با افزایش COD ورودی بود، درصد حذف نیز کاهش یافت. نتایج این مطالعه نشان داد که در غلافت‌های پایین (۰/۱-۶۰ mg/L) با هر واحد افزایش در غلافت EDC، متان تجمعی افزایش می‌یابد که از نظر آماری همبستگی مثبت معنی‌داری بین آن‌ها برقرار است ($r = 0/۹۱۴$, $P < 0/۰۰۱$). همچنین، همبستگی مثبت معنی‌دار آماری بین COD ورودی و متان تجمعی مشاهده شد ($r = 0/۹۰۲$, $P < 0/۰۰۱$). از طرفی همبستگی معنی‌دار مثبت نیز بین درصد حذف COD و متان تجمعی یافت شد ($r = 0/۸۹۸$, $P < 0/۰۰۱$). در غلافت‌های بالا (۰/۱-۲۰ g/L)، همبستگی معنی‌بین غلافت EDC و متان تجمعی مشاهده شد ($r = 0/۰۰۱$, $P = 0/۸۰۷$). همبستگی بین COD ورودی و متان تجمعی برابر با ($r = -0/۸۴۵$, $P < 0/۰۰۱$) بود. بین درصد حذف COD و متان تجمعی همبستگی همچنان مشاهده شد.

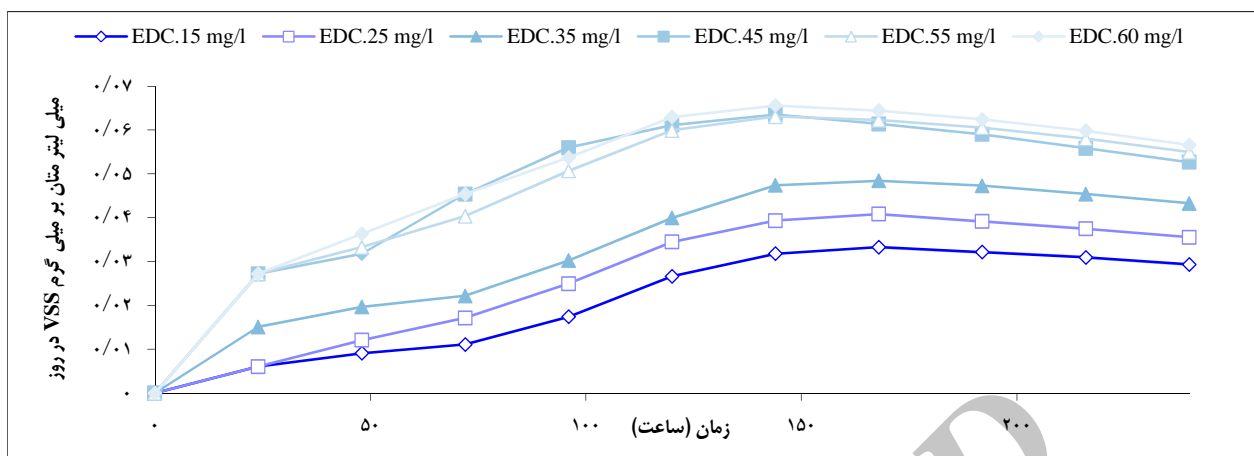
در این تحقیق از نرم‌افزار Excel و SPSS نسخه ۱۶ (version 16, SPSS Inc., Chicago, IL) برای آنالیز نمونه‌ها استفاده شد. کلیه مراحل آزمایش در آزمایشگاه پایلوت دانشکده بهداشت دانشگاه علوم پزشکی اصفهان صورت گرفت.

یافته‌ها

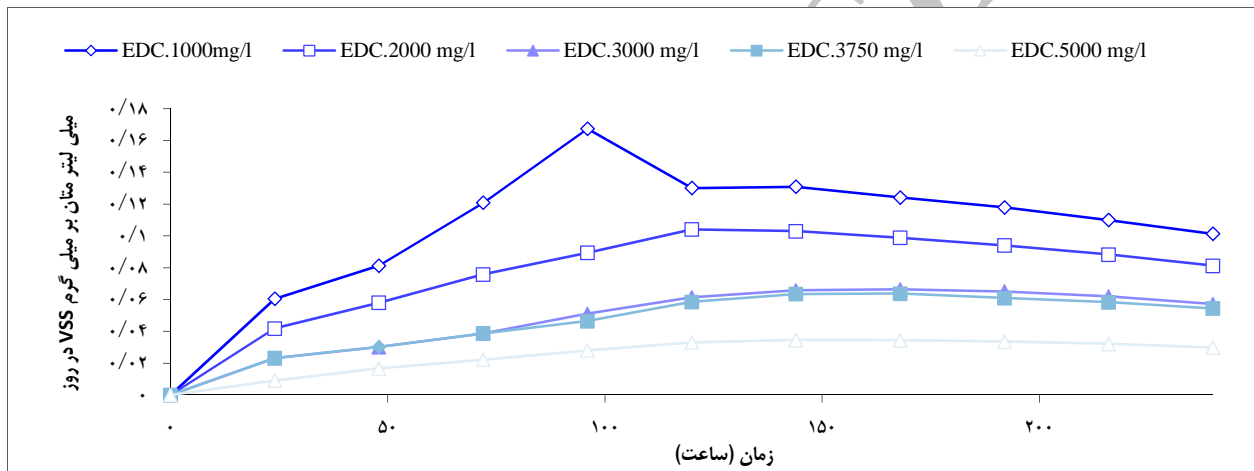
شکل ۲ میزان متان تولیدی را در برابر غلافت‌های متفاوت تزیینی اتیلن‌دی‌کلراید با گذشت زمان نشان می‌دهد. همان طور که در این شکل مشاهده می‌شود، افزایش غلافت اتیلن‌دی‌کلراید در گستره ۰/۱-۵۰ mg/L در غلافت‌های فوق برابر با ۰/۰۶۴ و ۵/۶۹ میلی‌لیتر متان بر گرم VSS در غلافت‌های ۰/۱ و ۵۰ میلی‌گرم بر لیتر برابر با ۱/۷۱ و ۱۳/۹ میلی‌لیتر (Volatile suspended solids) در روز و متان تجمعی در غلافت‌های ۰/۸ و ۱۳/۹ میلی‌لیتر به دست آمد (شکل ۵-الف). در غلافت‌های ۱۵ تا ۶۰ میلی‌گرم بر لیتر، بیشترین میزان SMA تولیدی برابر با ۰/۰۲ میلی‌لیتر متان بر گرم VSS در روز بود (شکل ۳). با افزایش غلافت اتیلن‌دی‌کلراید در گستره ۱۰۰-۱۰۰۰ mg/L در لجن بی‌هوایی مورد آزمایش، میزان SMA در غلافت ۱۰۰ میلی‌گرم بر لیتر، ۱۰/۲ میلی‌لیتر متان بر گرم VSS در روز و در غلافت ۱۰۰۰ میلی‌گرم بر لیتر، ۹/۹ میلی‌لیتر متان بر گرم VSS در روز، به دست آمد (شکل ۵-الف). اگرچه، میلی‌لیتر متان تجمعی پس از ده روز برای غلافت ۱۰۰ و ۱۰۰۰ میلی‌گرم بر لیتر کاهش یافت، ولی در غلافت‌های فوق به ترتیب ۱۳/۸۹ و ۹/۹ میلی‌لیتر متان



شکل ۲. تأثیر اتیلن‌دی‌کلراید بر روی میزان تجمعی متان سازی ویژه بیومس بی‌هوایی در غلافت‌های ۰/۰۱، ۰/۰۲، ۰/۰۵، ۰/۱۵، ۰/۲۰، ۰/۲۵، ۰/۳۰ میلی‌گرم بر لیتر
EDC: Ethylene dichloride; VSS: Volatile suspended solids



شکل ۳. تأثیر اتیلن دی کلراید بر روی میزان تجمعی متان سازی ویژه بیومس بی هوازی در غلظت های ۱۵، ۲۵، ۳۵، ۴۵، ۵۵ و ۶۰ میلی گرم بر لیتر
EDC: Ethylene dichloride; VSS: Volatile suspended solids



شکل ۴. تأثیر اتیلن دی کلراید بر روی میزان تجمعی متان سازی ویژه بیومس بی هوازی در غلظت های بالا شامل غلظت های ۱، ۲، ۳، ۴، ۵ و ۶۰۰۰ میلی گرم بر لیتر
EDC: Ethylene dichloride; VSS: Volatile suspended solids

در نهایت، به منظور تعیین عوامل تأثیرگذار بر میانگین غلظت متان تجمعی با استفاده از مدل رگرسیون خطی چندگانه به روش Backward از مدل حذف COD، میانگین غلظت متان تجمعی به اندازه ۰/۲۱ واحد افزایش یافته است ($P < 0/001$) و همچنین، به ازای هر واحد افزایش در غلظت EDC میانگین متان تجمعی به اندازه $0/001$ واحد افزایش می یابد که این افزایش از نظر آماری معنی دار است ($P = 0/04$). در این مطالعه، در مدل نهایی رگرسیون ۹۰ درصد تغییرات میانگین غلظت متان تجمعی توسط متغیرهای غلظت EDC و درصد حذف COD تدبین می شود که این مقادیر نشان دهنده کارایی بالای مدل است و ۱۰ درصد به متغیرهای دیگر مریوط می گردد (جدول ۲).

در نهایت، به منظور تعیین عوامل تأثیرگذار بر میانگین غلظت متان تجمعی با استفاده از مدل رگرسیون خطی چندگانه به روش Backward، نشان داده شد که به ازای هر واحد افزایش در حذف COD، میانگین غلظت متان تجمعی به اندازه $0/001$ واحد افزایش یافته است ($P < 0/001$) و همچنین، به ازای هر واحد افزایش در غلظت EDC میانگین متان تجمعی به اندازه $0/001$ واحد افزایش می یابد که این افزایش از نظر آماری معنی دار است ($P = 0/04$). در این مطالعه، در مدل نهایی رگرسیون ۹۰ درصد تغییرات میانگین غلظت متان تجمعی توسط متغیرهای غلظت EDC و درصد حذف COD تدبین می شود که این مقادیر نشان دهنده کارایی بالای مدل است و ۱۰ درصد به متغیرهای دیگر مریوط می گردد (جدول ۲).

بحث

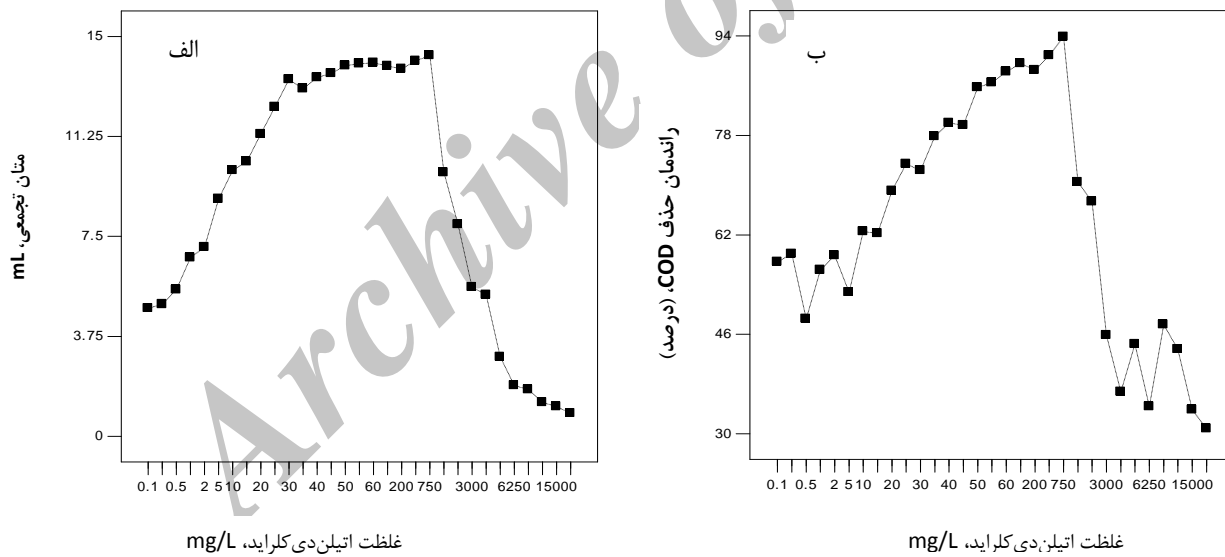
نرخ کلریدی EDC با تولید متان ارتباط نزدیکی دارد. در واقع متان محصول پایانی پروسه های تجزیه محسوب می شود (۱۸). مطابق با نتایج حاصل، بیشترین میزان SMA تولیدی در غلظت ۷۵۰ میلی گرم بر لیتر برابر

مشاهده می شود (۱۹). در مطالعه دیگری، افزایش در VFA به خصوص پروپیونیک اسید نشان دهنده نامتعادل بودن بین تولید سریع اسیدها به وسیله هیدروژن/ اسیدوژنیز و تجزیه به نسبت کند به وسیله استوژنیز/ متانوژنیز بود. VFA توسط استوژنیکها و استوکلاستیکها سریع تجزیه نمی شوند و به این دلیل، پروسه کلی هضم بی هوایی مهار می شود (۲۰). همچنین، مشاهده شد که افزایش غلظت پروپیونیک اسید تا ۶ گرم بر لیتر اثر بازدارندگی در مرحله متانوژنیک ندارد. در نهایت، برای این که یک ماده شیمیابی پروسه متاپولیک را پروپیونیک اسید غیر یونیزه قادر است تا وارد سلول میکروبی جلوگیری می کند. بنابراین، تنها ترکیبات یونیزه به داخل سلول میکروبی جلوگیری می کند. بنابراین، تنها پروپیونیک اسید غیر یونیزه قادر است تا وارد سلول شده و متاپولیسم باکتریالی را مختلف کند و فرم یونیزه خارج از سلول باقی می ماند. تعادل بین فرم یونیزه و غیر یونیزه به pH بستگی دارد (۲۰).

استات پیشرو ۷۵ درصد از متان تولید شده در هاضمهای بی هوایی می باشد و تجزیه آن به عنوان مرحله محدود کننده در تجزیه سوبسترها آلت پیچیده شناخته شده است. پروپیونات و بوتیرات اسیدهای چربی است که به استات و هیدروژن تبدیل می شود (۲۱). Siggins و همکاران، علت تجمع استات در راکتور را به دلیل حساسیت بالای استوکلاستیکها به TCE و DCE کلروایلن (DCE)، بیان کردند (۲۰).

غلظت‌های پروپیونات از ۱ تا ۱۰ gCOD/kg SMA از ۱/۸ تا ۱۱/۳ mgCOD/gVS d مشاهده شد. اگرچه، در مطالعه آن‌ها در غلظت COD بالاتر میزان میلی لیتر متan تولیدی افزایش یافت، اما آن‌ها به بررسی غلظت‌های بالاتر نبرداختند.

تبدیل زیستی اسیدهای چرب مثل پروپیونات به استات و هیدروژن به طور ترمودینامیکی خود به خود در شرایط استاندارد رخ نمی‌دهد. واکنش‌های مصرف هیدروژن مثل تولید متان برای کاهش میزان هیدروژن نیاز است. در واقع، این باعث می‌شود که تبدیل زیستی پروپیونات رو به جلو رانده شود. در این رابطه، تجزیه پروپیونات زمانی که غلظت هیدروژن بالاتر از 10^{-4} اتمسفر بررسد، متوقف می‌شود. غلظت‌های بالاتر منجر به افزایش غلظت اسید پروپیونیک و اسیدهای کربوکسیلیک در هاضم می‌شود (۲۱). بنابراین، در این حالت هیدروژن تجمع یافته و اسید پروپیونیک سریع‌تر از بقیه اسیدهای چرب فرار (VFA) یا Volatile fatty acids تشکیل شده و دیرتر تجزیه می‌شود (۲۰). افزایش غلظت اسید باعث کاهش pH و بازدارندگی و توقف تولید متان می‌شود و این می‌تواند یکی از دلایل احتمالی بازدارندگی در فعالیت باکتری‌ها با افزایش غلظت آلانینه باشد (۲۱). البته، در مطالعه حاضر اندازه‌گیری pH و اسیدهای چرب صورت نگرفته است. با کاهش تولید گاز از ۴۸۸ به ۱۴۳ لیتر با افزایش جامدات خشک در هاضم بی هوایی مواد زاید جامد، افزایش در VFA و افت pH



شکل ۵. تأثیر غلظت‌های مختلف اتیلن‌دی‌کلراید در پاسخ به (الف) میلی‌لیتر تولید متان تجمعی، (ب) راندمان حذف COD

جدول ۲. بررسی تأثیر متغیرهای غلظت EDC و راندمان حذف COD بر روی غلظت متان تجمعی به روش رگرسیون Backward

متغیرها	R^2	P	S.E	β
پایه	.۹	.۰۰۸	۱/۴۳۶	-۴/۰۷۱
غلظت EDC، میلی‌گرم بر لیتر	.۰۰۴۰	<۰/۰۰۱	<۰/۰۰۱	
درصد حذف COD	<۰/۰۰۱	.۰۰۲۰	.۰۲۰۷	

(شکل ۵-ب).

افزایش در COD ورودی در غلظت‌های بالاتر اتیلن دی کلراید می‌تواند دلیل دیگری بر کاهش تولید مtan (شکل ۵-الف) و همچنین، کاهش راندمان حذف COD (شکل ۵-ب) باشد. نتایج آنالیز راندمان حذف اتیلن دی کلراید با استفاده از دستگاه GC در پایان دوره در سه غلظت ۳۰۰۰، ۲۰۰۰ و ۱۰۰۰ میلی گرم بر لیتر به ترتیب برابر ۹۴/۷، ۹۵/۲ و ۹۳/۸ درصد به دست آمد و نشان می‌دهد که سوبستره اضافه شده به تولید مtan منجر شده است (۹).

نتیجه‌گیری

اثر غلظت سوبستره بر روی SMA در این مطالعه بررسی شد. آزمایش‌های SMA در غلظت‌های مختلف EDC (از ۰/۱ تا ۲۰۰۰ mg/L) انجام شد. نتایج نشان داد که SMA به غلظت EDC وابسته است. بالاترین اندازه‌گیری شده d₅₀ ۱۳/۹۵ mLCH₄/gVSS به غلظت ۷۵۰ mg/L به دست آمد. اتیلن دی کلراید در غلظت‌های بالای ۷۵۰ میلی گرم بر لیتر بازدارنده بر فعالیت باکتری‌ها بود. همین‌گونه مثبت معنی داری بین افزایش غلظت EDC و تولید مtan تجمعی در غلظت‌های پایین مشاهده شد، اما در غلظت‌های بالاتر این همبستگی از نظر آماری منفی بود.

تشکر و قدردانی

این مقاله حاصل طرح پژوهشی مصوب با عنوان تجزیه بیولوژیکی بی هوایی اتیلن دی کلراید به روش نایپروسته توسط آزمایش فعالیت مтан سازی ویژه (SMA) در مقطع کارشناسی در سال ۸۶ و شماره ۲۸۶۱۶ است که با حمایت دانشگاه علوم پزشکی و خدمات بهداشتی درمانی اصفهان اجرا شده است.

در مطالعه‌ای دیگر، افزایش غلظت TCE از ۱۰ تا ۶۰ میلی گرم بر لیتر، باعث کاهش ۲۹ درصدی راندمان حذف COD و ۵۴ درصدی تولید مtan بیوگاز در غلظت ۶۰ میلی گرم بر لیتر شد. متابوژن‌های استوکلاستیک تا حدی در حضور TCE و مشتقات تجزیه آن، مهار می‌شود؛ در حالی که در روابط با ارگانیسم‌های کلرزا دی توائد دسترسی هیدروژن برای متابوژن‌های هیدروژنیک محدود شود (۷). در مطالعه حاضر، کاهش مtan تولیدی در غلظت‌های بسیار بالای اتیلن دی کلراید گفته بالا را تصدیق می‌کند (شکل ۵-الف، جدول ۲). این امر منجر به کاهش ۹۸/۹۵/۸، ۹۰/۱۴ درصدی تولید مtan به ترتیب در غلظت‌های ۵، ۱۲/۵ و ۲۰ گرم بر لیتر اتیلن دی کلراید شد. در تحقیق حیدری و همکاران نیز افزایش در غلظت آنتی‌بیوتیک‌ها منجر به کاهش در فعالیت مtan سازی بیومس بی هوایی شد (۱۳). در تحقیق آن‌ها در غلظت‌های ۲۰۰، ۵۰۰ و ۱۰۰۰ میلی گرم بر لیتر آنتی‌بیوتیک اوپلوکسازین، کاهش تولید مtan به ترتیب ۴۵، ۷۶ و ۸۸ درصد و کاهش ۶۸ و ۸۱ درصدی در غلظت‌های ۱۰۰، ۲۰۰ و ۵۰۰ میلی گرم بر لیتر سپیروفلوکسازین مشاهده شد. همچنین، با افزایش غلظت آلفاکتونک، بازدارنده‌گی در فعالیت استوکلاستیک‌ها مشاهده شد که این بازدارنده‌گی روند افزایشی داشت (۱۳). مطالعه‌ای که در راکتور Sponza با فاصلاب سنتیک برای حذف TCE انجام داد، نیز قابل مقایسه با یافته‌های این مطالعه است (۱۴). در تحقیق آن‌ها TCE در غلظت‌های ۱۰ mg/L و ۵ بازدارنده بود. در تحقیق حاضر از غلظت‌های بیشتر از ۷۵۰ میلی گرم بر لیتر بازدارنده‌گی آغاز شد؛ به طوری که کاهش در مtan تولیدی (شکل ۵-ب) و کاهش در درصد حذف COD مشاهده می‌شود (جدول ۲). در مطالعه Ranaemان حذف TCE در غلظت ۳۰ میلی گرم بر لیتر، ۸ درصد با میزان SMA تولیدی ۱/۳۲ گرم COD بر گرم بر روز به دست آمد (۱۴). در مطالعه حاضر راندمان حذف COD در غلظت ۳۰ میلی گرم بر لیتر ۷۲/۴ درصد به دست آمد

References

- Dinglasan-Panlilio MJ, Dworatzek S, Mabury S, Edwards E. Microbial oxidation of 1,2-dichloroethane under anoxic conditions with nitrate as electron acceptor in mixed and pure cultures. *FEMS Microbiol Ecol* 2006; 56(3): 355-64.
- de Wildeman S, Nollet H, van Langenhove H, Verstraete W. Reductive biodegradation of 1,2-dichloroethane by methanogenic granular sludge in lab-scale UASB reactors. *Advances in Environmental Research* 2001; 6(1): 17-27.
- Olaniran AO, Naidoo S, Masango MG, Pillay B. Aerobic biodegradation of 1,2-dichloroethane and 1,3-dichloropropene by bacteria isolated from a pulp mill wastewater effluent in South Africa. *Biotechnol Bioprocess Eng* 2007; 12(3): 276-81.
- Shokrollahzadeh S, Azizmohseni F, Golmohammad F, Shokouhi H, Khademhaghigheh F. Biodegradation potential and bacterial diversity of a petrochemical wastewater treatment plant in Iran. *Bioresour Technol* 2008; 99(14): 6127-33.
- Siggins A, Enright AM, O'Flaherty V. Methanogenic community development in anaerobic granular bioreactors treating trichloroethylene (TCE)-contaminated wastewater at 37 degrees C and 15 degrees C. *Water Res* 2011; 45(8): 2452-62.
- Pham H, Boon N, Marzorati M, Verstraete W. Enhanced removal of 1,2-dichloroethane by anodophilic microbial consortia. *Water Res* 2009; 43(11): 2936-46.
- Dong F, Zhao QB, Zhao JB, Sheng GP, Tang Y, Tong ZH, et al. Monitoring the restart-up of an Upflow Anaerobic Sludge Blanket (UASB) reactor for the treatment of a soybean processing wastewater. *Bioresour Technol* 2010; 101(6): 1722-6.
- le Hyaric R, Chardin C, Benbelkacem H, Bollon J, Bayard R, Escudie R, et al. Influence of substrate concentration and moisture content on the specific methanogenic activity of dry mesophilic municipal solid waste digestate spiked with propionate. *Bioresour Technol* 2011; 102(2): 822-7.
- Ince O, Anderson GK, Kasapgil B. Control of organic loading rate using the specific methanogenic activity test during start-up of an anaerobic digestion system. *Water Research* 1995; 29(1): 349-55.
- Souto TF, Aquino SF, Silva SQ, Chernicharo CA. Influence of incubation conditions on the specific methanogenic activity test. *Biodegradation* 2010; 21(3): 411-24.
- Sanz JL, Rodriguez N, Amils R. Effect of chlorinated aliphatic hydrocarbons on the acetoclastic methanogenic activity of

- granular sludge. *Appl Microbiol Biotechnol* 1997; 47(3): 324-8.
12. McHugh S, Carton M, Collins G, O'Flaherty V. Reactor performance and microbial community dynamics during anaerobic biological treatment of wastewaters at 16-37 degrees C. *FEMS Microbiol Ecol* 2004; 48(3): 369-78.
13. Heidari M, Saffari Khouzani H, Amin MM, Ghasemian M, Taherian E, Attari L, et al. Inhibition effect of antibiotics ciprofloxacin and ofloxacin and hormone β -estradiol 17 valerate on the methanogenic activity of anaerobic biomass. *Iran J Health Environ* 2011; 4(2): 189-200. [In Persian].
14. Sponza DT. Anaerobic granule formation and tetrachloroethylene (TCE) removal in an upflow anaerobic sludge blanket (UASB) reactor. *Enzyme and Microbial Technology* 2001; 29(6-7): 417-27.
15. van Haandel A, Lettinga G. Anaerobic sewage treatment: a practical guide for regions with a hot climate. Hoboken, NJ: John Wiley and Sons; 1994.
16. Angelidaki I, Alves M, Bolzonella D, Borzacconi L, Campos L, Guwy A, et al. Anaerobic Biodegradation, Activity and Inhibition (ABAII) Task Group Meeting 9th to 10th October 2006, in Prague. Kongens Lyngby, Denmark: Institute of Environment and Resources, Technical University of Denmark; 2007.
17. le Hyaric R, Canler JP, Barillon B, Naquin P, Gourdon R. Pilot-scale anaerobic digestion of screenings from wastewater treatment plants. *Bioresour Technol* 2010; 101(23): 9006-11.
18. Gourdon R, Vermande P. Effects of propionic acid concentration on anaerobic digestion of pig manure. *Biomass* 1987; 13(1): 1-12.
19. Aguilar A, Casas C, Lema JM. Degradation of volatile fatty acids by differently enriched methanogenic cultures: Kinetics and inhibition. *Water Res* 1995; 29(2): 505-9.
20. Siggins A, Enright AM, O'Flaherty V. Low-temperature (7 degrees C) anaerobic treatment of a trichloroethylene-contaminated wastewater: microbial community development. *Water Res* 2011; 45(13): 4035-46.
21. Tale VP, Maki JS, Struble CA, Zitomer DH. Methanogen community structure-activity relationship and bioaugmentation of overloaded anaerobic digesters. *Water Res* 2011; 45(16): 5249-56.

Influence of Ethylene Dichloride Concentration on the Methanogenic Activity of Anaerobic Biomass

Masoumeh Golshan¹, Maryam Torabifar², Manizhe Sabaghian-Bidgoli³, Mohammad Mehdi Amin⁴, Mohammad Ghasemian⁵, Leila Karimi-Takanlu⁶

Original Article

Abstract

Background: In this study, the inhibitory effect of ethylene dichloride (EDC) on biodegradation was investigated using the specific methanogenic activity (SMA) Test of anaerobic biomass.

Methods: In the present study, 40 SMA tests were performed using 120-ml vials in batch mode. Substrate, biomass, and biogas occupied 66%, 17%, and 17% (v/v) of the volume of each vial, respectively. The duration of each batch was 10 days. Produced methane was measured through gas replacement with 2N KOH solution as CO₂ absorbent. The chemical oxygen demand (COD) test was performed on samples before and after each test. The variation in temperature and pH were retained at 35 ± 2°C and 7, respectively. The input COD was measured for each vial at the beginning and end of the experiment. EDC was analyzed through gas chromatography-mass spectrometry (GC-MS) at the beginning and end of the experiment.

Findings: In this study, at the concentrations of 500, 1000, 5000, and 20000 mg/l of EDC, 12.6, 9.9, 2.98, and 0.86 ml CH₄/g VSS decrease in the production in methane was observed, respectively. A decline in the efficiency of COD removal was also observed in the mentioned concentrations. The efficiency of COD removal at the mentioned concentrations was 68.9, 70.5, 54.4, and 33.8%, respectively. The inhibitory effects of EDC on methanogenic activity of anaerobic biomass started at EDC concentrations of higher than 750 mg/l. The amount of cumulative methane at EDC concentrations of 750, 5000, and 20000 mg/l was 30.7, 9.86, and 1.9 ml, respectively. EDC removal efficacy at concentrations of 500, 2000, and 3000 mg/l was obtained using GC-MS and was equal to 95.2%, 94.7%, and 93.8%, respectively.

Conclusion: The results of this study indicated that EDC concentrations of higher than 750 mg/l caused a reduction in methane production and bacterial activity.

Key words: Specific methanogenic activity (SMA), Ethylene dichloride (EDC), Anaerobic biomass, Petrochemical industry wastewater

Citation: Golshan M, Torabifar M, Sabaghian-Bidgoli M, Amin MM, Ghasemian M, Karimi-Takanlu L. **Influence of Ethylene Dichloride Concentration on the Methanogenic Activity of Anaerobic Biomass.** J Health Syst Res 2015; 11(4): 705-12

Received date: 26/07/2015

Accept date: 18/10/2015

1- Student Research Committee, School of Health, Ahvaz Jundishapur University of Medical Sciences, Ahvaz, Iran

2- Department of Environmental Health Engineering, Lali Municipality, Khuzestan, Iran

3- Department of Environmental Health Engineering, School of Health, Isfahan University of Medical Sciences, Isfahan, Iran

4- Environment Research Center, School of Health, Isfahan University of Medical Sciences, Isfahan, Iran

5- Environment Research Center, School of Health, Isfahan University of Medical Sciences, Isfahan AND Tehran Wastewater Engineering Company, Tehran, Iran

6- Department of Environmental Health Engineering, School of Health, Iran University of Medical Sciences, Tehran, Iran

Corresponding Author: Mohammad Mehdi Amin, Email: amin@hlth.mui.ac.ir